## エキシマレーザー照射による MgAl<sub>2</sub>O<sub>4</sub> 単結晶基板上での Ga<sub>2</sub>O<sub>3</sub> 薄膜の固相結晶化と構造評価

Crystallization of Ga<sub>2</sub>O<sub>3</sub> thin films on MgAl<sub>2</sub>O<sub>4</sub> substrate by excimer laser irradiation 東工大物質理工 <sup>1</sup>、 (株)豊島製作所 <sup>2</sup>、神奈川県産技総研 <sup>3</sup>

○(M1) 松島 拓海 <sup>1</sup>, (M2) 森田 公之 <sup>1</sup>, 土嶺 信男 <sup>2</sup>, 金子 智 <sup>3, 1</sup>, 松田 晃史 <sup>1</sup>, 吉本 護 <sup>1</sup>

Tokyo Tech <sup>1</sup>, TOSHIMA Manu. <sup>2</sup>, KISTEC <sup>3</sup>

<sup>O</sup>Takumi Matsushima<sup>1</sup>, H. Morita<sup>1</sup>, N. Tsuchimine<sup>2</sup>, S. Kaneko<sup>3,1</sup>, A. Matsuda<sup>1</sup>, M. Yoshimoto<sup>1</sup>

E-mail: matsushima.t.aa@m.titech.ac.jp

【はじめに】酸化ガリウム( $Ga_2O_3$ )は、 $\alpha\sim\epsilon$  の多形をとるワイドギャップ半導体である。低温・常圧の安定相である  $\beta$ - $Ga_2O_3$  は GaN や SiC を上回る広いバンドギャップ( $E_g$ )約 4.9 eV を有し、高効率パワーデバイスや紫外オプトエレクトロニクスへの応用が検討されている[1]。また、準安定相の $\gamma$ - $Ga_2O_3$  も広範囲の  $E_g$  調節が可能であるため[2]、MODFET 等への応用研究がなされている。これらの薄膜では  $PLD^{[3]}$ や  $CVD^{[4]}$ 等の手法で  $\beta$ ,  $\gamma$ - $Ga_2O_3$  のエピタキシャル薄膜が報告されているが、これまでに 350℃を超える基板温度が必要とされてきた。こうした比較的高温での成膜によるドーパントの偏析や組成ずれ、積層薄膜における反応層生成などの抑制は、より微細なデバイス形成やドープ・特性制御の精度向上への貢献が期待できる。一方で我々は、エキシマレーザーアニーリング(ELA)による  $\beta$ - $Ga_2O_3$  薄膜の室温固相エピタキシープロセスを見出した  $E_g$  に応じた光子エネルギー選択による効率的な吸収と、短パルスでのアニーリングによる、室温・短時間での結晶化や、界面反応抑制が示唆された。これまで  $E_g$  の ELA では、 $E_g$  に応じた光子エネルギー選択による効率的な吸収と、短パルスでのアニーリングによる、空温・短時間での結晶化や、界面反応抑制が示唆された。これまで  $E_g$  の ELA では、 $E_g$  の ELA では、ELA を開いた  $E_g$  の ELA では  $E_g$  の ELA で  $E_g$  の ELA を  $E_g$  の ELA で  $E_g$  の ELA で  $E_g$  の ELA で  $E_g$  の ELA を  $E_g$  の ELA で  $E_g$  の ELA で  $E_g$  の ELA を  $E_g$  の ELA を  $E_g$  の ELA で  $E_g$  の ELA を  $E_g$  の  $E_g$  の

【実験及び結果】まず、前駆体である  $Ga_2O_3$  非晶質薄膜をパルスレーザー堆積(PLD)法により作製した。KrF エキシマレーザー( $\lambda$ =248 nm、パルス幅 20 ns、1.5  $J/cm^2$ )と  $\beta$ - $Ga_2O_3$  焼結体ターゲットを用い、原子ステップ  $MgAl_2O_4$ (100)基板上に、希薄  $O_2$ (1×10<sup>-3</sup> Pa)中、室温(基板非加熱)で堆積し

た。次に、得られた薄膜に対して、KrF エキシマレーザー( $\lambda=248~\mathrm{nm}$ ;  $E_g=5~\mathrm{eV}$ 相当、 $0.20~\mathrm{J/cm^2}$ )を大気中・室温において非集光で薄膜表面から  $500~\mathrm{lm}$  次照射し、ELA を行った。Fig.1 にELA 後の  $\mathrm{Ga_2O_3/MgAl_2O_4(100)}$  薄膜の XRD 及びRHEED像を示した。XRD結果より $\beta$ - $\mathrm{Ga_2O_3(100)}$  結晶配向成長が確認され、また RHHED 像に面内四回対称性が見られたことから、 $\beta$ - $\mathrm{Ga_2O_3(100)}$  化の $\mathrm{lm}$   $\mathrm$ 

- [1] M. Higashiwaki, et al., Appl. Phys. Lett. 100, 013504 (2012).
- [2] T. Oshima, et al., J. Appl. Phys. 58, 060910 (2019).
- [3] H.Hayashi et al., J. Mater. Res., 26, 578 (2011).
- [4] T. Oshima, et al., J. Cryst. Growth 359, 60 (2012).
- [5] D.Shiojiri, et al., J.Cryst. Growth 424, 38 (2015).

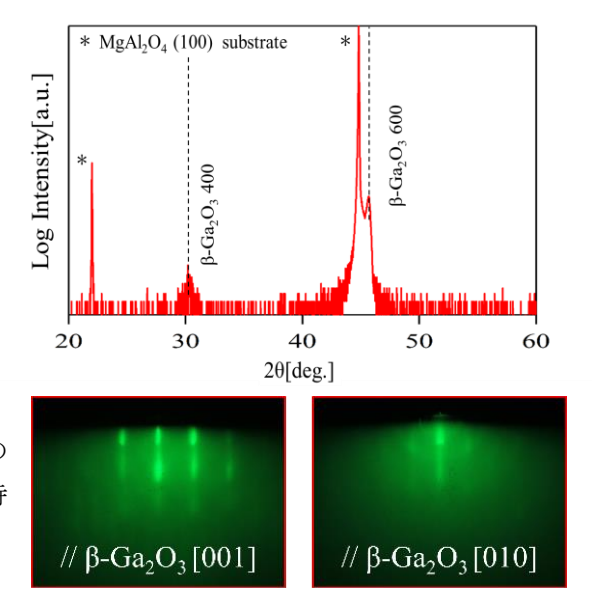


Fig.1 XRD  $2\theta/\omega$  profile and RHEED images of a  $Ga_2O_3$  thin film after ELA grown on a  $MgAl_2O_4$  (100) substrate .